

تهیه لاتکس‌های یکنواخت نانوکامپوزیت پلیاستایرن/خاک رس به روش پلیمریزاسیون رادیکالی انتقال اتم معکوس درجا در سیستم مینی‌امولسیون

حضرالله خضری^۱، وحید حدادی اصل^{۲*}، حسین روغنی ممقانی^۳ و مهدی سلامی کلجاهی^۳

۱- دانشگاه صنعتی امیرکبیر، گروه مستقل شیمی

۲- دانشگاه صنعتی امیرکبیر، دانشکده مهندسی پلیمر و رنگ

۳- دانشگاه صنعتی سهند، دانشکده مهندسی پلیمر

h d d @atu.ac.ir

پژوهش‌نفت

سال بیست و دوم

شماره ۷۱

صفحه ۲۷-۱۴، ۱۳۹۱

تاریخ دریافت مقاله: ۸۹/۱۲/۱۱

تاریخ پذیرش مقاله: ۹۰/۱۲/۲۱

یکنواخت ذرات کروی نانوکامپوریت پلیاستایرن با اندازه ذرات حدود ۲۰۰ nm را در نمونه نانوکامپوزیتی محتوی ۱٪ خاک رس نشان می‌دهد.

واژه‌های کلیدی: پلیمریزاسیون رادیکالی انتقال اتم معکوس، پلیاستایرن، نانوکامپوزیت، مینی‌امولسیون

مقدمه

در چند دهه اخیر سنتز نانوکامپوزیت‌های پلیمر- خاک رس به علت بهبود خواص فوق العاده‌ای که این ترکیبات نسبت به کامپوزیت‌های رایج از خود نشان می‌دهند، بسیار مورد توجه قرار گرفته است. حضور خاک رس به عنوان یک ترکیب معدنی با خواص حرارتی و مکانیکی بالا در کنار زنجیرهای پلیمری به عنوان یک ترکیب آلی با خواص ارجاعی مناسب می‌تواند خواص منحصر به فردی را در این ترکیبات به نمایش بگذارد. از همین رو در سال‌های اخیر مطالعات فراوانی در مورد سنتز و بررسی این

چکیده

لاتکس‌های پلیاستایرن با پراکنش نانو صفحات خاک رس به وسیله پلیمریزاسیون رادیکالی انتقال اتم معکوس درجا در سیستم مینی‌امولسیون و در دمای ۹۰ °C سنتز شدند. درجه تبدیل نهایی مونومر با استفاده از روش وزن‌سنگی اندازه‌گیری شد. توزیع اندازه قطرات و ذرات نیز با استفاده از روش تفرق نور (DLS) به دست آمد. همچنین متوسط عددی و وزنی وزن مولکولی و شاخص پراکندگی با استفاده از روش کروماتوگرافی ژل تراوایی (GPC) مورد ارزیابی قرار گرفت. شاخص پراکندگی پلیاستایرن خالص در مقایسه با مقادیر به دست آمده از نمونه‌های نانوکامپوزیتی پایین‌تر بود که با افزایش میزان نانوذره، افزایش یافت. نتایج تفرق اشعه ایکس (XRD) نشان می‌دهد که صفحات خاک رس در ماتریس پلیمری پراکنده شده و نانوکامپوزیت‌هایی با ساختار پراکنشی حاصل گردیده است. تشکیل موقت آمیز زنجیره‌های پلیاستایرن و ماهیت زنده این زنجیره‌ها توسط نتایج FTIR به اثبات رسید. نتایج حاصل از ¹H NMR نیز حاکی از ماهیت زنده فرآیند پلیمریزاسیون است. تصویر SEM نیز توزیع

می‌توان به ضعف کنترل پذیری جرم مولکولی و توزیع آن، طراحی ساختار مولکولی پلیمر محصول و ناتوانی در سنتز کوپلیمرهای قطعه‌ای اشاره کرد [۲۴ و ۲۵]. همین امر محققان را به سمت توسعه روش‌هایی سوق داد که ضمن برخورداری از مزایای روش رادیکالی معمولی، نقاط ضعف این روش را بطرف نماید. لذا با گسترش روش‌های پلیمریزاسیون و به وجود آمدن روش‌های پلیمریزاسیون زنده، امکان تهیه پلیمرهایی با ساختار مولکولی معین و همچنین وزن مولکولی از پیش تعیین شده فراهم گردید. روش‌های رادیکالی زنده نظری پلیمریزاسیون رادیکالی انتقال اتم (ATRP) [۲۶ و ۲۷]، پلیمریزاسیون رادیکالی با واسطه نیتروکسید (NMP) [۲۸] و پلیمریزاسیون انتقال افزایشی - جدایشی بازگشت پذیر (RAFT) [۲۹ و ۳۰] برای این منظور به کار گرفته شده‌اند. از میان روش‌های پلیمریزاسیون رادیکالی زنده، روش ATRP به دلیل میزان حساسیت کمتر به ناخالصی‌ها، آسان بودن شرایط عملیاتی مانند دما و فشار و همچنین در دسترس بودن مواد مورد نیاز آن به شکل تجاری بیشتر از سایر روش‌های پلیمریزاسیون رادیکالی زنده مورد توجه قرار گرفته است. با استفاده از روش ATRP پلیمرهای با عاملیت‌های مختلف (عاملیت انتهای زنجیر و یا عاملیت در طول زنجیر)، پلیمرهای با ترکیب درصدهای متفاوت (هموپلیمرها، کوپلیمرهای تصادفی، قطعه‌ای، گرادیانی و پیوندی) و پلیمرهای با توبولوژی متفاوت (خطی، ستاره‌ای، شاخه‌ای و شانه‌ای) و یا ترکیبی از این ساختارها قابل سنتز هستند [۳۱]. همچنین طیف وسیعی از مونومرهای مختلف مانند مونومرهای استایرنی، اکریلات‌ها، متاکریلات‌ها، اکریلونیتریل، اکریل آمیدهای، اکریلیک اسیدهای و ... با این روش قابل پلیمریزاسیون هستند [۳۲]. یکی دیگر از بارزترین مزایای روش ATRP قابلیت استفاده از روش‌های متنوع شروع است. روش شروع معکوس یکی از مهم‌ترین راه حل‌های موجود برای غلبه بر مشکلات ناشی از حساسیت اجزای اولیه فرآیند ATRP نسبت به هوا و اکسیژن می‌باشد [۲۴].

پلیمریزاسیون مینی امولسیونی یکی از مهم‌ترین روش‌های پلیمریزاسیون در محیط آبی به شمار می‌رود و به جهت خواص منحصر به‌فردی که دارد بسیار مورد توجه محققان

خانواده از نانوکامپوزیت‌ها انجام گرفته است. همچنین این مواد به عملت خواص نو و بسیار بالا، کاربردهای زیادی در پوشش سطوح، کاتالیست‌ها و سیستم‌های رهایش دارو یافته‌اند [۱ و ۲]. افزایش مقادیر اندکی خاک رس به ماتریس پلیمری، بهبود قابل توجهی در بسیاری از خواص پلیمر زمینه مانند خواص مکانیکی [۳ و ۴]، مقاومت حرارتی [۵]، مقاومت در برابر شعله [۶ و ۷]، خواص مغناطیسی [۸]، خواص الکتریکی [۹]، عبورپذیری [۱۰] و افزایش مدول [۱۱] ایجاد می‌نماید. به طور کلی سه روش عمدۀ برای سنتز نانوکامپوزیت‌های پلیمر- خاک رس مطرح شده است که این روش‌ها شامل: روش اختلاط مذاب [۱۲]، اختلاط محلولی با استفاده از حللاهای قطبی [۱۳] و پلیمریزاسیون درجا [۱۴-۱۶] می‌باشند. در روش اختلاط مذاب، پلیمر در دمای بالای انتقال شیشه‌ای به فضای بین صفحات خاک رس وارد و تحت نیروهای برشی باعث پراکنش صفحات در ماتریس می‌شود. در روش محلولی که شامل اختلاط خاک رس و محلول پلیمر است؛ ساختار نانوکامپوزیت حاصل بستگی به ماهیت حللا، غلظت محلول، برهم‌کنش بین پلیمر و سطح خاک رس و همچنین میزان کاهش انرژی دارد. در روش پلیمریزاسیون درجا، مونومر مستقیماً برای متورم کردن صفحات خاک رس مورد استفاده قرار می‌گیرد. پس از تورم لایه‌ها توسط مونومر، پلیمریزاسیون به وسیله حرارت، اشعه و یا نفوذ یک آغازگر مناسب به درون فضای بین صفحات خاک رس شروع می‌شود [۱۷ و ۱۸]. در این روش به دلیل نسبت پایین وزن مولکولی مونومر به پلیمر، نفوذ مونومر در فاصله بین صفحات خاک رس آسان‌تر روی می‌دهد. در نتیجه عمده‌تاً ساختار پراکنشی نانوکامپوزیت حاصل می‌شود و از همین رو، روش پلیمریزاسیون درجا مورد توجه بیشتری واقع شده است [۱۹ و ۲۰]. قابل ذکر است که روش پلیمریزاسیون درجا به روش‌های تعلیقی [۲۱]، محلولی [۲۱]، توده [۲۲]، امولسیونی و یا مینی امولسیونی [۱ و ۲۳] تا به حال انجام شده است.

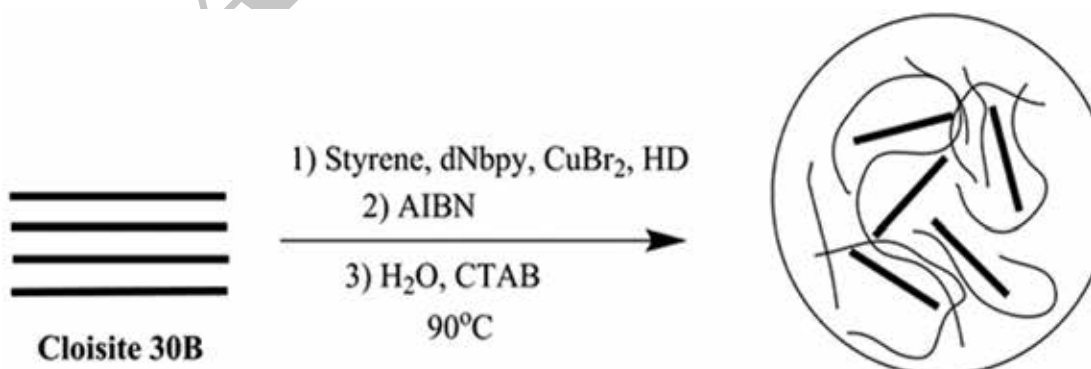
گرچه روش پلیمریزاسیون رادیکالی معمولی، پرکاربردترین روش تهیه مواد پلیمری در مقیاس صنعتی است، اما این روش یک سری نقاط ضعف دارد که از آن جمله

تشکیل کمپلکس استفاده شده است. مطالعه مراجع حاکی از آن است که غالباً پلیمریزاسیون رادیکالی معمولی برای سنتز درجای نانوکامپوزیت‌ها در سیستم مینی‌امولسیونی به کار رفته است [۳۵ و ۳۶]. T_g و Deg [۳۵] لاتکس مینی‌امولسیونی پلی‌استایرن/نانو ساپونیت را سنتز کرده و به این نتیجه رسیدند که اکثربی ذرات لاتکس نهایی دارای شکل کروی با اندازه‌هایی T_g و Deg از 100 m می‌باشند. همچنین Ah و lah کمتر از 37 نیز در حضور استایرن در حضور ذرات خاک رس را نیز بررسی کردند. Ah و lah نیز اثر نانوذره خاک رس و ماکروآغازگر Semsarzad h را بر سیتیک پلیمریزاسیون رادیکالی انتقال اتم استایرن و متیل متاکریلات مورد بررسی قرار دادند [۳۸]. سنتز موفقیت‌آمیز نانوکامپوزیت پراکنشی پلی‌متیل متاکریلات/خاک رس به روش ATRP نیز توسط Bt tch r و $Samak$ $\ddot{\epsilon}$ همکارانش [۳۹] گزارش شده است. $Samak$ $\ddot{\epsilon}$ همکارانش [۴۰] توانستند دو نوع نانوکامپوزیت کپسوله شده پلی‌استایرن/خاک رس را با استفاده از روش RAFT در سیستم مینی‌امولسیونی تهیه کنند.

در این پژوهش لاتکس یکنواخت درجای نانوکامپوزیت پلی‌استایرن/خاک رس اصلاح شده (Clie site B) به روش RATRP در سیستم مینی‌امولسیونی تهیه شده و مشخصات نانوکامپوزیت حاصله مورد مطالعه و بررسی قرار می‌گیرد (شکل ۱).

قرار گرفته است. از جمله خواص ویژه آن می‌توان به توانایی بالا در کپسوله کردن مواد معدنی و سهولت در فرآیند هسته‌زایی اشاره کرد. ویژگی ثانویه ذکر شده به طور مشخص این روش را از پلیمریزاسیون امولسیونی که از فرآیند هسته‌زایی پیچیده‌ای برخوردار است، متمایز می‌کند. در پلیمریزاسیون مینی‌امولسیونی تنها قطرات مونومری به عنوان مکان‌های هسته‌زایی در نظر گرفته می‌شوند. حال آنکه در پلیمریزاسیون امولسیونی علاوه بر قطرات، مایسل‌ها نیز در محیط حضور دارند که این امر مشکلاتی را در تعیین محل هسته‌گذاری به همراه خواهد داشت. ضمن اینکه در پلیمریزاسیون مینی‌امولسیونی، مشکلات مربوط به انتقال جرم (که در پلیمریزاسیون امولسیونی وجود دارد) نیز با توجه به مکانیسم هسته‌زایی مرتفع گردیده است [۲۵].

تطابق تعادل مربوط به ATRP با سیستم انتخابی برای پلیمریزاسیون به واسطه اصلاح لیگاند متعلق به کمپلکس فلزی، یکی دیگر از ویژگی‌های قابل توجه این روش است [۳۳]. امروزه این مسئله کاملاً پذیرفته شده که هر لیگاندی که در سیستم‌های توده‌ای و یا محلولی موفق عمل می‌کند، الزاماً نمی‌تواند برای سیستم‌های پراکنده آبی نیز مؤثر واقع شود. تنها آن دسته از لیگاندها می‌توانند در سیستم‌های پراکنده آبی موفق باشند که ضمن تشکیل کمپلکس موثر با فلز واسطه، در فاز آبی نیز محلول باشند [۳۴]. به همین دلیل در این بررسی از لیگاند آب‌گریز N جهت



شکل ۱- روش تهیه لاتکس نانوکامپوزیت پلی‌استایرن به روش RATRP

به مدت یک ساعت جهت تشکیل محلول شفاف تحت اختلاط قرار داده شد). سپس محلول آبی محتوی ماده فعال سطحی به تدریج و تحت اختلاط به محلول آلی از پیش تهیه شده، اضافه گردید. محلول حاصل به مدت ۱۵ دقیقه تحت اختلاط شدید قرار داده شده و سپس برای همگن‌سازی تحت اولتراسونیک قرار گرفت. بعد از فرآیند همگن‌سازی، محلول حاصل به سرعت به راکتور شیشه‌ای دو جداره مجهز به مبرد و شیر ورودی نیتروژن منتقل شد. آنگاه ورودی‌های راکتور توسط درپوش‌های لاستیکی بسته شد. سپس محیط واکنش سه بار عاری از اکسیژن شده و با گاز نیتروژن پر گردید. در ادامه دمای راکتور به 90°C افزایش داده می‌شود تا واکنش پلیمریزاسیون آغاز گردیده و طی مدت زمان 20 ساعت پلیمر مطلوب تشکیل شود. در ابتدای فرآیند، محیط واکنش به رنگ سبز روشن درآمده بود، اما به تدریج با پیشرفت واکنش، محیط به قهوه‌ای روشن تغییر رنگ پیدا کرد.

تهیه درجای نانوکامپوزیت پلیاستایرن به روش پلیمریزاسیون رادیکالی انتقال اتم معکوس برای تهیه نانوکامپوزیت پلیاستایرن، ابتدا میزان دلخواه خاک رس ($0/5$ ، 1 و 2 درصد وزنی نسبت به مونومر) با مونومر استایرن (4 میلی‌لیتر، $0/0349$ مول) برای مدت زمان مناسب متورم می‌شود. سپس این محلول به محلول آلی محتوی کمپلکس فلزی (عیناً مراحل فرآیند ذکر شده در بخش پیشین انجام می‌گیرد، با این تفاوت که در این مرحله از 4 میلی‌لیتر مونومر استایرن استفاده می‌شود) اضافه شده و پس از اینکه دقایقی تحت اختلاط قرار گرفت، همان مراحل سنتز پلیمر خالص تکرار می‌گردد. نام‌گذاری نمونه‌های پلیمری و نانوکامپوزیتی بر اساس نحوه تهیه و درصد نانوذره در جدول 1 آورده شده است.

بخش تجربی مواد

استایرن (Ald ich، 99%) از ستون پرشده با آلومین خنثی به منظور حذف بازدارنده‌ها عبور داده شد. خاک رس (Cl₆ site B) برای تبخیر رطوبت موجود، به مدت 24 ساعت در آون خلاء در دمای 65°C قرار گرفت. سایر ترکیبات شامل برミد مس (CB₂, Fluka, II), (CB₂, Aldrich, 99%), dNbpy, Merck (Merck, 99%), هگزادکان (Ald ich, 99%), تراهیدروفوران (Acros, AIBN), ستیل دی نونیل- 2 -و- 2 -بای پیریدین (Aldrich, 97%), آزوپیس ایزو بوتیریل (Merck, CTAB) و آلومینا (Ald ich, 99%) بدون هیچ گونه عملیات اضافی مورد استفاده قرار گرفتند.

تهیه پلیاستایرن به روش پلیمریزاسیون رادیکالی انتقال اتم معکوس در سیستم مینیامولسیون

برای تهیه پلیاستایرن، ابتدا مقادیر g $0/038$ از $0/349$ (Ald ich, 99% میلی‌مول) به همراه g $0/142$ (AIBN, 99% میلی‌مول) جهت تشکیل کاتالیست فلز انتقالی به ظرف شیشه‌ای کوچک درسته‌ای که محتوی 8 ml مونومر استایرن ($0/06982$ مول) و $0/37\text{ ml}$ هگزادکان (99% میلی‌مول) بوده است، اضافه شدند (مقادیر با توجه به نسبت‌های مولی بهینه شده حاصل شدند). محلول حاصل به مدت 12 ساعت در دمای محیط برای تشکیل محلول همگن سبز رنگ تحت اختلاط قرار داده شد. از آنجایی که آغازگر مورد استفاده در این تحقیق محلول در فاز آلی است، لازم است قبل از فرآیند همگن‌سازی به محلول افزوده شود. بنابراین مقدار g $0/0286$ (AIBN, 99% میلی‌مول) نیز تحت اختلاط به محلول فوق اضافه شد. محلول آبی مورد استفاده نیز در اثر اختلاط میزان $0/3$ گرم از CTAB به 48 ml آب دیونیزه تشکیل شد (مخلوط

جدول ۱- نام‌گذاری نمونه‌های پلیمری و نانوکامپوزیتی

نام نمونه	روش تهیه	میزان خاک رس (درصد وزنی)	مدت زمان اختلاط مونومر با خاک رس
PS	ATRP	۰	-----
PSNM05	ATRP	$0/5$	۱۴ ساعت
PSNM1	ATRP	۱	۱۴ ساعت
PSNM2	ATRP	۲	۱۴ ساعت

و با استفاده از اشعه با طول موج $\lambda = 0.15406\text{ m}$ و در دمای اتاق به دست آمدند. سرعت اسکن معادل با 0.02 nm^{-1} درجه بر ثانیه و ولتاژ و جریان به ترتیب برابر با 35 mA و 20 mV مورد استفاده قرار گرفت. طیف FTIR با استفاده از دستگاه FTIR-Spectrophotometer Nicolet 4000 به دست آمد. به طور متوسط طول موج $4000 - 400\text{ cm}^{-1}$ برای هر نمونه، ۸ بار اسکن انجام شد. نمونه‌ها جهت آزمایش فوق با استفاده از پخش شدن پودر نانوکامپوزیت یا نمونه پلیمری در قرص KBr و سپس قرارگیری تحت فشار 10^4 torr آماده شدند. طیف رزونانس مغناطیسی هسته (NMR) نیز برای نمونه پلیمری و نمونه‌های استخراج شده از نانوکامپوزیت‌ها گرفته شد. ابتدا نمونه‌ها در حلال کلروفرم دوتره (CDCl_3) حل شده و سپس طیف HNMR-Spectrophotometer Bruker XL θ با فرکانس 300 MHz مگاهرتز جمع آوری شد. تعداد اسکن به ازای هر نمونه ۱۰ بار بود که با تأخیر زمانی یک ثانیه انجام شد. برای بررسی ساختار و شکل نمونه پودری سنتز شده از میکروسکوپ الکترونی روبشی SEM (Philips XL θ) ساخت کشور هلند با ولتاژ 17 kV برای شتاب دادن الکترون استفاده شد. همچنین برای پوشش سطح نمونه‌ها با طلا به روش رسوب‌دهی فیزیکی بخار (P.V.D) از دستگاه لایه نشانی طلا مدل SCDOOS، ساخت شرکت BAL-TEC از کشور سوئیس استفاده گردید.

نتایج و بحث

لاتکس یکنواخت و پایدار نانوکامپوزیت پلیاستایرن/ خاک رس به شکل درجا و با استفاده از روش RATRP در سیستم مینی امولسیونی با موفقیت تهیه شد. در این بررسی جهت حصول اطمینان از هسته‌زایی در تمام یا اکثریت قطرات مونومری از آغاز گر محلول در مونومر، AIBN، استفاده شد. اگرچه مواد فعال سطحی غیریونی مانند Brij θ به عنوان پایدارکننده‌های رایج در سیستم‌های پراکنده آبی به شمار می‌روند [۴۱ و ۴۲]، اما استفاده از این ماده فعال سطحی در این بررسی به جهت دمای بالای پلیمریزاسیون با موفقیت چندانی همراه نخواهد بود. این مسئله به اثبات رسیده است که جدایش فازی در دمای‌های

جداسازی زنجیرهای پلیمری از صفحات خاک رس و حذف کاتالیست

برای جداسازی زنجیرهای پلیمری از صفحات خاک رس، ابتدا نمونه‌ها در حلال تترا هیدروفوران حل شدند. سپس به وسیله اولتراسانتریفیوژ با سرعت بالا و عبور محلول از فیلترهای $0.2\text{ }\mu\text{m}$ میکرونی، صفحات خاک رس از زنجیرهای پلیمر جدا شد. در مرحله بعد، عبور محلول از ستون آلومینی منجر به حذف کاتالیست از محلول شد.

تعیین مشخصات

اندازه قطرات و ذرات مینی امولسیون و توزیع اندازه آنها با استفاده از تفرق نور لیزر (DLS, Malvern Zetasizer ZS θ UK) با زاویه تفرق 177° اندازه گیری شد. قطر گزارش شده، اندازه متوسط ذره بر اساس شدت-وزن (z-average weight) ذرات می‌باشد و نتیجه دو بار اندازه گیری است که مقدار خطای دستگاه کمتر از 3% تخمین زده شد. همچنین برای این اندازه گیری‌ها، به منظور جلوگیری از اثر رقت روی اندازه ذرات و پایداری آنها، ابتدا نمونه‌های مینی امولسیون با محلول آبی ماده فعال سطحی با همان غلظتی که برای تهیه مینی امولسیون مادر به کار رفته بود، رقیق شدند. تهیه مینی امولسیون با استفاده از دستگاه التراسونیک (Hielscher UIP θ 20H, Germany) پرrob دار (پرrob دار) انجام شد. میزان تبدیل نهایی مونومر با استفاده از روش وزن‌سنگی تعیین گردید. برای تعیین متوسط عددی و وزنی وزن مولکولی و توزیع آن از روش کروماتوگرافی ژلتراوایی (GPC, Waters 20 Agilent) با آشکارگر بر اساس شاخص شکست استفاده شد. ستون‌های مورد استفاده به صورت سری به هم وصل شدند (Polymer 1 $0\text{ }\mu\text{m}$, Polymer 2 $0.8\text{ }\mu\text{m}$, Polymer 3 $0.5\text{ }\mu\text{m}$). ماده مرجع پلیاستایرن استاندارد بوده و حلال مورد نظر تراهیدروفوران با دبی 1 ml/min در دمای 30°C بود. آنجایی که نمونه‌های خروجی از راکتور دارای میزان زیادی کمپلکس فلز انتقالی مس می‌باشند، برای جلوگیری از آسیب دیدن ستون‌های دستگاه GPC و همچنین جلوگیری از خطا احتمالی، نیاز است که یون مس از نمونه‌ها خارج گردد. نمودارهای تفرق اشعه ایکس (XRD) با استفاده از دستگاه Siemen D θ در محدوده زاویه $2^\circ - 10^\circ$ درجه

بر اساس این داده‌ها از یک طرف توزیع یکتایی اندازه قطرات مونومری و ذرات پلیمری اثبات شده و از طرف دیگر نیز محدوده قابل قبول و مناسب اندازه ذرات و قطرات به اثبات می‌رسد [۲۵]. نمودار مربوط به توزیع اندازه ذرات نمونه خالص پلیمری و نانوکامپوزیت‌های مربوطه در شکل ۲ رسم شده است.

بالا با استفاده از ماده فعال سطحی Brij[®] اجتناب ناپذیر است [۴۳]، لذا در این بررسی از ماده فعال سطحی کاتیونی CTAB به عنوان پایدارکننده استفاده شد.

با استفاده از نتایج حاصل از دستگاه تفرق نور لیزر (DLS) که در جداول ۲ و ۳ ارائه شده، به وضوح مشخص می‌شود که فرآیند همگن‌سازی با موفقیت خوبی همراه بوده است.

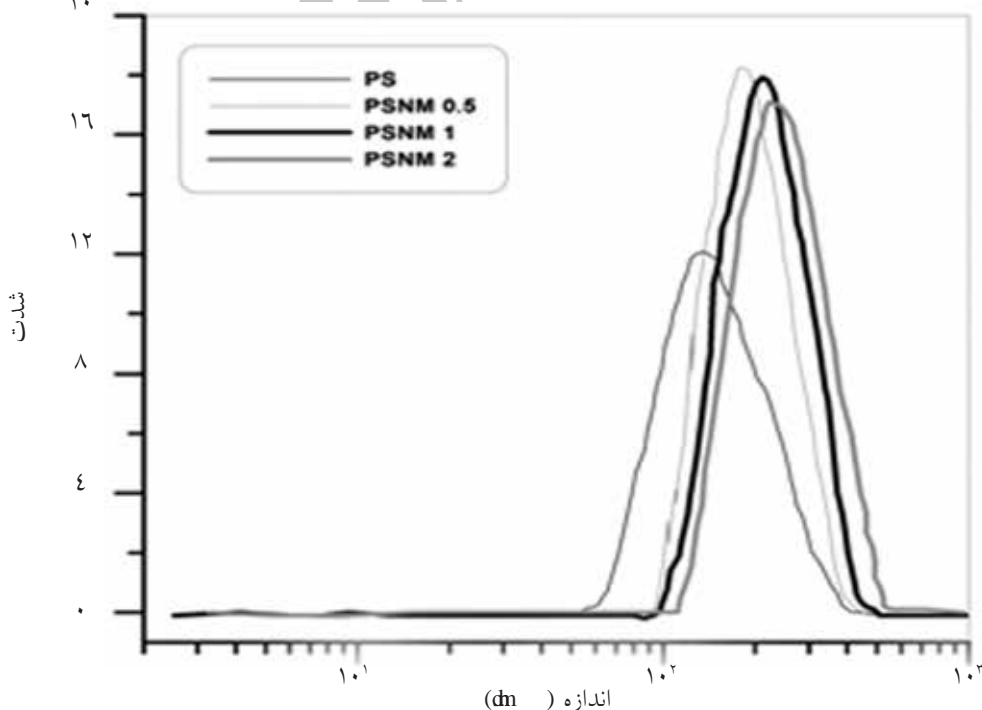
جدول ۲- توزیع اندازه قطرات نمونه پلیمری خالص و نانوکامپوزیت‌ها

شاخص پراکندگی (PDI)	اندازه قطرات (dm)	نام نمونه
۰/۱۳	۱۹۶	PS
۰/۱۸	۲۰۸	PSNM0.5
۰/۱۷	۲۵۶	PSNM1
۰/۱۵	۲۶۲	PSNM2

جدول ۳- توزیع اندازه ذرات نمونه خالص پلیمری و نانوکامپوزیت‌ها

شاخص پراکندگی (PDI)	اندازه ذرات (dm)	نام نمونه
۰/۱۱	۱۴۵	PS
۰/۰۷	۱۸۰	PSNM0.5
۰/۰۷	۱۹۸	PSNM1
۰/۱۱	۲۲۶	PSNM2

۲۰



شکل ۲- نمودار توزیع اندازه ذرات نمونه خالص پلیمری و نانوکامپوزیت‌های مربوطه

معادله ۱ به دست می‌آید [۴۴]:

$$M_n^{\text{theor.}} = \frac{[M]_0}{[Cu^{II}]_0} \times p \times M_c \quad (1)$$

که در معادله فوق $[M]$ و $[Cu^{II}]$ به ترتیب غلظت اولیه مونومر و برماید مس (II)، p درجه تبدیل (که در این بررسی به روش وزن‌سنگی اندازه‌گیری شد) و M_c وزن مولکولی واحد تکراری پلیمر مورد نظر (که در مورد استایرن این مقدار برابر $g = 10^4 / 15$ است) می‌باشد.

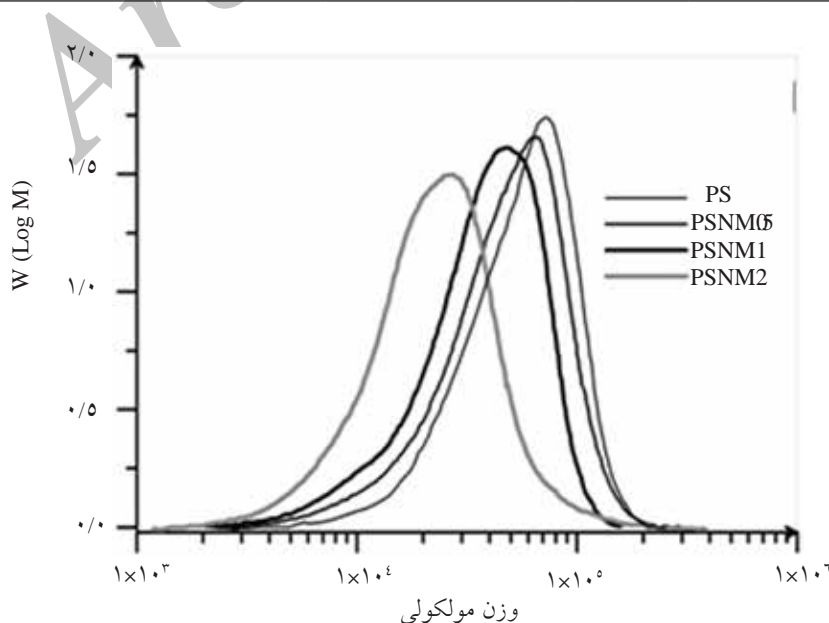
نتایج حاصل از آزمون GPC در شکل ۳ آورده شده است. همچنان که از نتایج برمی‌آید، همه نمونه‌ها، چه نمونه پلیمری خالص و چه نانوکامپوزیت‌ها با درصدهای متفاوت خاک رس، پیک یکتاپی با توزیع نسبتاً باریک نشان داده‌اند. داده‌های استخراج شده از این نمودارها در جدول ۴ خلاصه شده است. این جدول وزن‌های مولکولی و شاخص پراکندگی نمونه‌های پلیمری و نانوکامپوزیتی را نشان می‌دهد.

با توجه به مقادیر عددی ارائه شده در جداول ۲ و ۳ می‌توان دریافت که با افزایش میزان نانو ذره در لاتکس پلیمری، مقدار اندازه متوسط قطرات و ذرات نیز به تدریج افزایش پیدا می‌کند که این امر می‌تواند شاهدی بر جایگیری صفحات خاک رس در داخل قطرات مونومری و ذرات پلیمری باشد [۳۶].

بر اساس داده‌های حاصل از آزمایش کروماتوگرافی ژل تراوایی (GPC) امکان محاسبه وزن مولکولی متوسط عددی، وزن مولکولی متوسط وزنی و همچنین شاخص پراکندگی نمونه‌های پلیمری و نانوکامپوزیتی پس از جدایش صفحات نانو از ماتریس پلیمری و حذف کاتالیست فراهم می‌گردد. در محاسبه وزن مولکولی از طریق تئوری نیاز به در دست داشتن درجه تبدیل می‌باشد؛ لذا وزن مولکولی عددی تئوری از طریق داده‌های حاصل از وزن سنگی به دست آمد. وزن مولکولی تئوری از طریق

جدول ۴- نتایج استخراج شده از آزمون GPC

شاخص پراکندگی	متوسط وزنی وزن مولکولی ($g \text{ mb}^{-1}$)	متوسط عددی وزن مولکولی (gm b^{-1})		درصد تبدیل	زمان واکنش (h)	نام نمونه
		تجربی	تئوری			
۱/۵۴	۶۰۰۴۵	۳۸۸۴۵	۴۰۸۲۹	۹۸	۲۰	PS
۱/۵۴	۵۲۹۱۵	۳۴۳۶۱	۳۳۷۴۶	۸۱	۲۰	PSNM0
۱/۵۷	۲۴۷۹۸	۲۷۷۶۰	۲۴۹۹۷	۶۰	۲۰	PSNM1
۱/۶۳	۲۶۹۲۷	۱۶۴۸۷	۱۷۹۱۵	۴۳	۲۰	PSNM2



شکل ۳- نمودار توزیع وزن مولکولی نمونه پلیمری خالص و سایر نانوکامپوزیت‌ها

[۱۷]. نیروی چسبندگی بین صفحات خاک رس نیز از نوع نیروی واندروالسی و نیروی ضعیف دوقطبی می‌باشد. بر اساس داده‌های روش XRD، امکان بررسی نحوه پراکنش صفحات خاک رس در ماتریس پلیمری فراهم می‌گردد. بدین صورت که در نواحی که صفحات خاک رس به طور کامل از هم جدا شده و در ماتریس پلیمری پخش شده‌اند، تفرق اشعه ایکس به دلیل همگونی محیط مشاهده نمی‌شود. اما در نواحی که صفحات از هم جدا نشده‌اند و یا در طول هم لغزیده و پراکنده نشده‌اند، تفرق اشعه ایکس مشاهده می‌شود. با توجه به زاویه تفرق، امکان محاسبه فاصله بین صفحات خاک رس نیز فراهم می‌گردد. در حالت کلی فاصله بین صفحات در اثر نفوذ مولکول‌های مونومر و یا زنجیرهای پلیمری می‌تواند افزایش پیدا کند. محاسبه فاصله بین صفحات خاک رس با استفاده از معادله Brag امکان‌پذیر است [۲۰]:

$$d = \lambda / (2 \sin \theta) \quad (2)$$

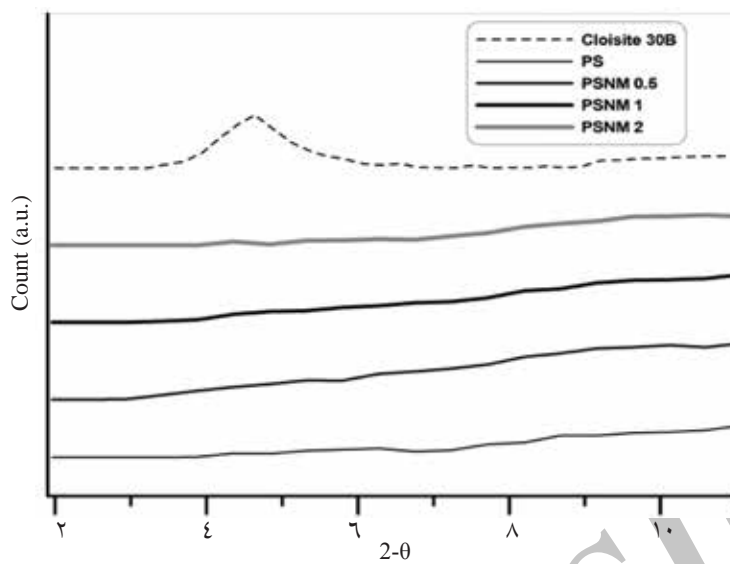
در این معادله d فاصله بین لایه‌ای، λ طول موج اشعه ایکس و θ زاویه تفرق می‌باشد.

با توجه به شکل ۴ مشاهده می‌شود که هیچ‌کدام از نمونه‌های نانوکامپوزیتی تهیه شده پیک خاصی را در محدوده ۶-۴ درجه (محدوده مورد انتظار) نشان نداده‌اند، که این امر بیان گر افزایش فاصله میان صفحات خاک رس به واسطه نفوذ زنجیرهای پلیمری به داخل فضاهای میان این صفحات (گالری) است. لذا، می‌توان نتیجه گرفت که ذرات نانو به صورت کاملاً همگن در ماتریس پلیمر پخش شده‌اند و محصول نانوکامپوزیت پراکنشی، حاصل شده است. البته واضح است که پلی‌استایرن خالص نیز به دلیل عدم حضور صفحات خاک رس هیچ‌گونه پیک تفرقی نشان نمی‌دهد (با توجه به روی هم قرارگیری نمودارها، مقادیر محور عمودی دلخواه می‌باشند).

شکل ۵ طیف FTIR مربوط به نمونه خالص پلیمری و همچنین طیف مربوط به نمونه نانوکامپوزیتی محتوی ۰.۱٪ وزنی نانوذره را نشان می‌دهد. نتایج حاصل از طیف‌های FTIR و همچنین اعداد موجی مربوط به پیوندهای قطبی موجود در نمونه‌ها در جدول ۵ ارائه شده است. (با توجه به روی هم قرارگیری نمودارها، مقادیر محور عمودی دلخواه می‌باشند).

توافق مناسب میان وزن مولکولی متوسط عددی تجربی و تئوری، مقادیر عددی شاخص پراکندگی و تغییر رنگ محیط واکنش از سبز روشن به قهوه‌ای روشن در ابتدای واکنش، نشان‌دهنده کترل‌پذیری و زنده بودن فرآیند پلیمریزاسیون می‌باشد [۴۵ و ۴۶]. همان‌گونه که مشاهده می‌شود با افزایش خاک رس به سیستم، میزان تبدیل و وزن مولکولی محصولات کاهش می‌یابد. این کاهش به این دلیل است که هنگامی که رادیکال‌ها در حضور نانوذره رسی تولید می‌شوند، به شکل برگشت ناپذیر با گروه‌های عاملی موجود در سطح نانوذره درگیر شده و با شرکت در واکنش اختتام از مسیر اصلی فرآیند خارج می‌شوند [۴۰]. واضح است با افزایش میزان نانوذره در ماتریس پلیمری، احتمال این واکنش‌های برگشت ناپذیر افزایش یافته و به موازات آن میزان تبدیل و وزن مولکولی محصولات نیز کاهش بیشتری نشان می‌دهند. همچنین کاهش قابلیت نفوذ مونومرها و رادیکال‌ها در اثر وجود نانوذرات رسی نیز می‌تواند عامل موثر دیگری در کاهش میزان تبدیل با افزایش خاک رس در ماتریس پلیمر به شمار آید. از طرفی به دلیل اینکه نانوذره یک ناخالصی در محیط پلیمریزاسیون محسوب می‌شود، باعث بالا رفتن شاخص پراکندگی و در نتیجه پهن شدن توزیع وزن مولکولی می‌گردد. همچنین با افزایش میزان نانوذره در ماتریس پلیمری، این افزایش در شاخص پراکندگی نیز واضح‌تر خواهد شد. بنابراین حضور نانوذره تا حد کمی از خصلت زنده بودن و کترل‌پذیری پلیمریزاسیون نسبت به پلیمریزاسیون خالص استایرن می‌کاهد. توجه به این نکته نیز ضروری است که مقدار نسبتاً بالای مقادیر شاخص پراکندگی، به دمای بالای پلیمریزاسیون و رفتار شرکت‌پذیری غیر فعال‌کننده‌ها در این دما مربوط می‌شود. به طور کلی در دمای بالا، میزان شرکت‌پذیری غیر فعال‌کننده‌ها در فاز آلبی کاهش می‌یابد که این امر منجر به کاهش کترل‌پذیری فرآیند پلیمریزاسیون و افزایش مقدار شاخص پراکندگی خواهد شد [۴۵].

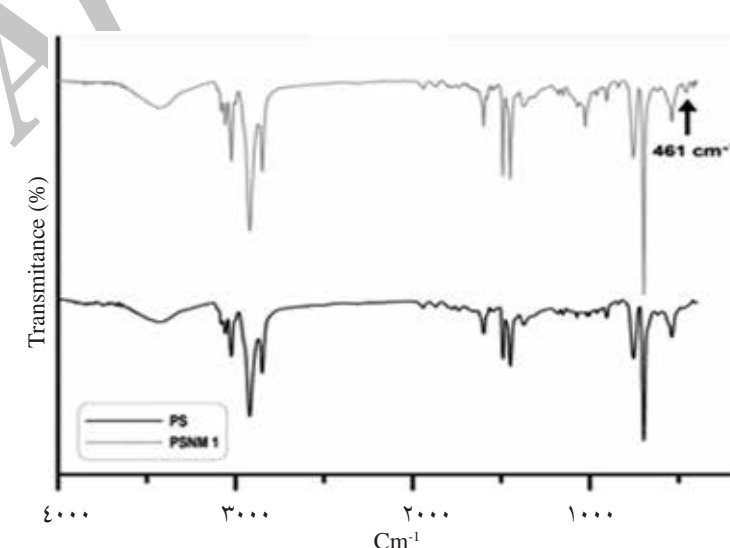
خاک رس مورد استفاده در این تحقیق متعلق به خانواده ۱:۲ فیلوسیلیکات‌ها می‌باشد. ساختار کریستالی این دسته از مواد، شامل یک لایه هشت وجهی هیدروکسید آلومینیوم است که بین دو لایه چهار وجهی اکسید سیلیکون ساندویچ شده است



شکل ۴- نمودار تفرق اشعه X نمونه پلیمری خالص و نانوکامپوزیت‌های آن

جدول ۵- عدد موجی مربوط به برخی از پیوندهای پلیمری و نانوکامپوزیتی

نام نمونه		باند شیمیابی
PSNM1	PS	
۶۹۷	۶۹۸	Pb by Rig
۱۶۰۰-۱۴۹۲-۱۴۵۱	۱۶۰۰-۱۴۹۱-۱۴۵۰	C=C
۳۱۰۰-۲۸۵۰	۳۱۰۰-۲۸۵۰	Arm aticC -H
۱۰۲۸	----	Si-O
۴۶۱	----	Al-O
۳۴۲۰	۳۴۴۰	O-H
۷۵۶	۷۵۴	C-Br



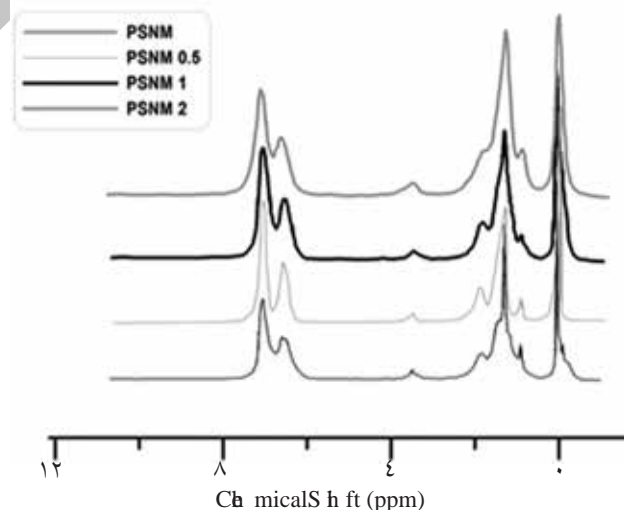
شکل ۵- طیف FTIR نمونه پلیمری خالص و نانوکامپوزیت محتوی ۱٪ خاک رس

نتایج حاصل از آزمون HNMR برای نمونه خالص پلیمری و نانوکامپوزیت‌های آن در شکل ۶ رسم شده است. پیک مشاهده شده در ناحیه ۷/۱-۷/۷ ppm مربوط به حلقه فنیل و پیک‌های مشاهده شده در ناحیه ۰/۵۴-۰/۲۳ ppm نیز متعلق به متیلن و کربن‌های نوع سوم موجود در ساختمان پلیاستایرن هستند. بنابراین شکل‌گیری کاملاً موفق پلیاستایرن در این سیستم با این نتایج تائید می‌شود. نکته حائز اهمیت، مشاهده پیکی در ناحیه ۳/۵۴ ppm است که مربوط به هیدروژن‌های واحدهای انتهایی است که هالوژن به کربن آن متصل می‌باشد. وجود این پیک شاهد قدرتمندی دال بر ماهیت زنده فرآیند پلیمریزاسیون انجام گرفته، محسوب می‌شود.

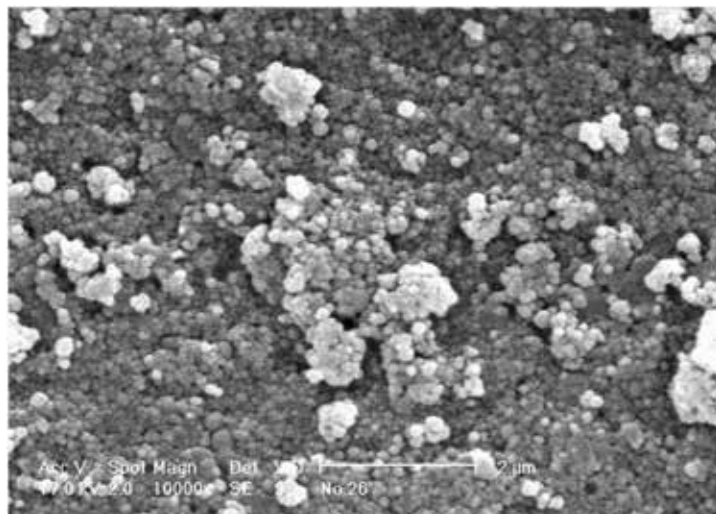
آزمون SEM یکی از کارآمدترین روش‌های بررسی مورفولوژی سطحی به شمار می‌رود. در شکل ۷ تصویر حاصل از آزمون SEM نمونه نانوکامپوزیتی حاوی ۱٪ خاک رس ارائه شده است. لازم به ذکر است که نمونه به شکل پودری جامد و خشک شده تحت تست SEM قرار گرفت. همان گونه که مشاهده می‌شود، ذرات دارای مورفولوژی سطحی کروی بوده و از پراکندگی یکنواختی نیز برخوردارند. اندازه ذرات مشاهده شده در محدوده ۲۰۰ m قرار دارد. این نتایج که به خوبی تائید کننده داده‌های حاصل از آزمون DLS است، نیز می‌تواند شاهدی برای موقفيت پلیمریزاسیون مینی‌مولسیونی انجام گرفته، باشد.

پیک مربوط به عدد موجی cm^{-1} ۳۱۰۰-۲۸۵۰ مربوط به نوسان باند C-H غیراشباع حلقه فنیل استایرن می‌باشد. همچنین نوسان خارج از صفحه حلقه فنیل در حدود اعداد موجی ۶۹۷ و $5۳۸ cm^{-1}$ مشاهده می‌شود. نوسانات مربوط به پیوند O-H نانوذره خاک رس در حدود عدد موجی cm^{-1} ۳۴۰۰ ملاحظه می‌گردد. پیک مشابهی در نمونه خالص پلیمری نیز مشاهده می‌شود که این پیک و همچنین پهن بودن پیک مشابه در نمونه نانوکامپوزیتی، مربوط به وجود مقادیر ناچیز رطوبت در نمونه‌های است که علی‌رغم تلاش فراوان جهت حذف آن، همچنان در نمونه‌ها باقی مانده است. نوسانات مربوط به باند Si-O نانوذره خاک رس در حدود عدد موجی cm^{-1} ۱۰۲۸ ملاحظه می‌گردد. این پیک تنها در نمونه محتوی نانوذره مشاهده می‌شود که این امر خود گواهی بر جای گیری موفق نانوذرات رسی در ماتریس پلیمری است. همچنین مشاهده پیک مربوط به نوسانات Al-O در عدد موجی حدود $4۶۱ cm^{-1}$ در نمونه نانوکامپوزیتی نیز مؤید همین مسئله است. حضور پیک در محدوده عدد موجی cm^{-1} ۷۵۵ که بیان‌گر حضور باند C-Br است، نشان‌دهنده طبیعت زنده انتهای زنجیری می‌باشد. با استفاده از خاصیت زنده زنجیر (حضور باند C-Br) است که امکان سنتز کوپلیمر بلوك، پیوندی، شاخه‌ای، ستاره‌ای و ... فراهم می‌گردد. داده‌های استخراج شده از طیف‌های FTIR در جدول ۵ ارائه شده‌اند.

HNMR pattern



شکل ۶- طیف HNMR نمونه پلیمری خالص و سایر نمونه‌های نانوکامپوزیتی



شکل ۷- تصویر SEM نمونه نانوکامپوزیتی محتوى ۱٪ نانوذره رس

خالص استایرن می‌کاهد. مطابق نتایج آزمون XRD تمامی نانوکامپوزیت‌های تهیه شده به روش پلیمریزاسیون درجا، ساختار پراکنشی دارند. پیک مربوط به پیوند Al-O و باند Si-O در طیف FTIR بیان‌گر قرارگیری موفق نانوذره در ماتریس پلیمری است. همچنین حضور پیک در محدوده علده موجی 755 cm^{-1} که موید حضور باند C-Br است، نشان‌دهنده طبیعت زنده انتهای زنجیر می‌باشد. با توجه به نتایج آزمون HNMR، شکل‌گیری موفق پلیمر پلی استایرن و همچنین ماهیت زنده و کنترل پذیری سیستم به اثبات رسید. تصویر SEM نیز بیان‌گر پلیمریزاسیون مینی‌امولسیونی موفق و تهیه لاتکس یکنواختی از ذرات کروی شکل با محدوده اندازه 200 nm می‌باشد.

نتیجه‌گیری

لاتکس یکنواخت نانوکامپوزیت پلی استایرن / خاک رس با استفاده از روش پلیمریزاسیون رادیکالی انتقال اتم معکوس در سیستم مینی‌امولسیونی تهیه گردید. نتایج آزمون DLS موققیت فرآیند همگن‌سازی و توزیع یکنواخت اندازه قطرات و ذرات را به اثبات رساند. تمامی نمونه‌های سنتزی اعم از پلیمر خالص و نانوکامپوزیت‌ها، پیک یکتاپی در آزمون GPC نشان دادند. همچنین کاهش در میزان تبدیل نهایی مونومر و وزن مولکولی نمونه‌ها با افزایش میزان خاک رس مشاهده گردید. وجود نانوذره باعث بالا رفتن شاخص پراکنده‌گی و در نتیجه پهن شدن توزیع وزن مولکولی می‌گردد. بنابراین حضور نانوذره تا حدی از خصلت زنده بودن پلیمریزاسیون نسبت به پلیمریزاسیون

مراجع

- [1]. Ray S.S., and Okamoto M., "Polymer-layered silicate nanocomposites: a review from preparation to processing", *Prog. Polym. Sci.*, Vol. 28, pp. 1539-1641, 2003.
- [2]. Fu X., and Qutubuddin S., "Polymer-layered nanocomposites exfoliation of organophilic montmorillonite nanolayers in polyethylene", *Polymer*, Vol. 42, pp. 807-813, 2001.
- [3]. Lan T., and Pinnavaia T.J., "Clay Reinforced Epoxy Nanocomposites", *Chem. Mater.*, Vol. 6, pp. 2216-2219, 1994.
- [4]. Wang Z., and Pinnavaia T.J., "Hybrid organic-inorganic Nanocomposites: Exfoliation of Magadiite Nanolayers

- in an Elastomeric Epoxy Polymer", Chem. Mater., Vol. 10, pp. 1820-1826, 1998.*
- [5]. Messersmith P., and Giannelis E.P., "Synthesis and Characterization of Layered Silicate-Epoxy Nanocomposites", *Chem. Mater., Vol. 6, pp. 1719-1725, 1994.*
- [6]. Jang B.N., Costache M., and Wilkie C.A., "The relationship between thermal degradation behavior of polymer and the fire retardancy of polymer/clay nanocomposites", *Polymer, Vol. 46, pp. 10678-10687, 2005.*
- [7]. Zhu J., Morgan A.B., Lamelas F.J., and Wilkie C.A., "Fire properties of poly(ethylene-b-allyl) nanocomposites", *Chem. Mater., Vol. 13, pp. 3774-3780, 2001.*
- [8]. Caruso F., Spasova M., Susha A., Giersig H., and Caruso R.A., "Magnetic nanocomposite particles and hollow spheres obtained by sequential layering approach", *Chem. Mater., Vol. 13, pp. 109-116, 2001.*
- [9]. Hu Y.Q., Wu H.P., Gonsalves K.E., and Merhari L., "Nanocomposites for electron beam nanolithography", *Microelectron Eng., Vol. 56, pp. 289-294, 2001.*
- [10]. Nazarenko S., Meneghetti P., Julmon P., Olson B., and Qutubuddin S., "Gas Barrier of Polystyrene/Montmorillonite Clay Nanocomposites: Effect of Mineral Layer Aggregation", *J. Polym. Sci. Part B: Polym. Phys., Vol. 45, pp. 1733-1753, 2007.*
- [11]. Shia D., Hui C.Y., Burnside S.D., and Giannelis E.P., "An interface model for the prediction of Young's modulus of layered elastomer nanocomposites", *Polym. Composites, Vol. 19, pp. 608-617, 1998.*
- [12]. Marius C., Heidecker M.J., Manias E., and Wilkie A., "Preparation and characterization of poly(ethylene terephthalate)-b-allyl nanocomposites by melt blending using thermally stable surfactants", *Polym. Adv. Technol., Vol. 17, pp. 764-771, 2006.*
- [13]. Ginzburg V., Singh C., and Balazs C., "Theoretical Phase Diagrams of Polymer/Clay Composites: The Role of Grafted Organic Modifiers", *Macromolecules, Vol. 33, pp. 1089-1099, 2000.*
- [14]. Paul D.R., and Robeson L.M., "Polymer nanotechnology nanocomposites", *Polymer, Vol. 49, pp. 3187-3204, 2008.*
- [15]. Hasegawa N., Okamoto H., Kawasumi M., and Usuki A., "Preparation and mechanical properties of poly(ethylene-b-allyl) blends", *J. Appl. Polym. Sci., Vol. 74, pp. 3359-3364, 1999.*
- [16]. Kim H., Lee W., Jang C., Choi J., and Jhon S., "Synthesis and Rheology of Intercalated Polystyrene/Na⁺-Montmorillonite Nanocomposites", *Macromol. Rapid. Commun., Vol. 23, pp. 191-195, 2002.*
- [17]. Nguyen Q., and Baird D., "Preparation of polymer-b-allyl nanocomposites and their properties", *Adv. Polym. Technol., Vol. 25, pp. 270-285, 2006.*
- [18]. Alexandre M., and Dubois Ph., "Polymer-layered silicate nanocomposites: preparation, properties and use of a new class of materials", *Mat. Sci. Eng., Vol. 28, pp. 1-63, 2000.*
- [19]. Roghani-Mamaqani H., Najafi M., Salami-Kalajahi M., and Haddadi-Asl V., "Synthesis and characterization of clay dispersed polystyrene nanocomposite via ATRP", *Polym. Composites, Vol. 31, pp. 1829-1837, 2010.*
- [20]. Roghani-mamaqani H., Haddadi-Asl V., Najafi M., and Salami-kalajahi M., "Preparation of tailor-made poly(ethylene nanocomposite with mixed clay and free chains via atom transfer radical polymerization", *AIChE J., Vol. 57, pp. 1873-1881, 2011.*

- [21]. Wang D., Zhu J., Yao Q., and Wilkie A., "A Comparison of Various Methods for the Preparation of Polystyrene and Poly(methyl methacrylate) Clay Nanocomposites", *Chem. Mater.*, Vol. 14, pp. 3837-3843, 2002.
- [22]. Liu G., Zhang L., Zhao D., and Qu X., "Bulk polymerization of styrene in the presence of organomodified montmorillonite", *J. Appl. Polym. Sci.*, Vol. 98, pp. 1932-1937, 2005.
- [23]. Diaconu G., Paulis M., and Leiza J., "High Solids Content Waterborne Acrylic/Montmorillonite Nanocomposites by Miniemulsion Polymerization", *Macromol. Reac. Engin.*, Vol. 2, pp. 80-89, 2008.
- [24]. Braunecker W., and Matyjaszewski K., "Controlled/living radical polymerization: Features developments, and perspectives", *Prog. Polym. Sci.*, Vol. 32, pp. 93-146, 2007.
- [25]. Qiu J., Charleux B., and Matyjaszewski K., "Controlled/living radical polymerization in aqueous media: homogeneous and heterogeneous systems", *Prog. Polym. Sci.*, Vol. 26, pp. 2083-2134, 2001.
- [26]. Wang S., and Matyjaszewski K., "Controlled/living radical polymerization. atom transfer radical polymerization in the presence of transition-metal complexes", *J. Am. Chem. Soc.*, Vol. 117, pp. 5614-5615, 1995.
- [27]. Kato M., Kamigaito M., Sawamoto M., and Higashimura T., "Polymerization of Methyl Methacrylate with the Carbon Tetrachloride/ Dichlorotris-(triphenylphosphine) ruthenium(II)/Methylaluminum Bis(2,6-di-tert-butylphenoxide) Initiating System: Possibility of Living Radical Polymerization", *Macromolecules*, Vol. 28, pp. 1721-1723, 1995.
- [28]. Benoit D., Chaplinski V., Braslav R., and Hawker J., "Development of a Universal Alkoxyamine for "Living" Free Radical Polymerization", *J. Am. Chem. Soc.*, Vol. 121, pp. 3904-3920, 1999.
- [29]. Qu Y., Su Y., Sun J., and Wang K., "Preparation of Poly(styrene-block-acrylamide)/Organic Montmorillonite Nanocomposites via Reversible Addition-Fragmentation Chain Transfer", *J. Appl. Polym. Sci.*, Vol. 110, pp. 387-391, 2008.
- [30]. Chiefar J., Chong K., Ercole F., Krstina J., Jeffery J., Le T., Mayadunne A., Meijs F., Moad L., Moad G., Rizzardo E., and Thang H., "Living Free-Radical Polymerization by Reversible Addition-Fragmentation Chain Transfer: The RAFT Process", *Macromolecules*, Vol. 31, pp. 5559-5562, 1998.
- [31]. Jakubowski W., and Matyjaszewski K., "Activator Generated by Electron Transfer for Atom Transfer Radical Polymerization", *Macromolecules*, Vol. 38, pp. 4139-4146, 2005.
- [32]. Jakubowski W., Min K., and Matyjaszewski K., "Activators Regenerated by Electron Transfer for Atom Transfer Radical Polymerization of Styrene", *Macromolecules*, Vol. 39, pp. 39-45, 2006.
- [33]. Matyjaszewski K., and Xia J., "Atom transfer radical polymerization", *Chem. Rev.*, Vol. 101, pp. 2921-2990, 2001.
- [34]. Min K., and Matyjaszewski K., "Atom transfer radical polymerization in aqueous dispersed media", *Cent. Eur. J. Chem.*, Vol. 7(4), pp. 657-674, 2009.
- [35]. Tong Zh., and Deng Y., "Synthesis of poly(styrene-*n*-butylbenzene sulfonate) latex via miniemulsion polymerization", *Polymer*, Vol. 48, pp. 4337-4343, 2007.
- [36]. Tong Zh., and Deng Y., "Synthesis of water-based poly(styrene-nanobutylbenzene sulfonate) via miniemulsion polymerization", *Ind. Eng. Chem. Res.*, Vol. 45, pp. 2641-2645, 2006.

- [37]. Tong Zh., and Deng Y., "Kinetics of miniemulsion polymerization of styrene in the presence of organotin catalyst", Macromol. Mater. Eng., Vol. 293, pp. 529-537, 2008.
- [38]. Abdollahi M., and Semsarzadeh M.A., "Effect of nanotitanate and macroinitiator on the kinetics of atom transfer radical homo- and copolymerization of styrene and methyl methacrylate initiated with CCl₃-terminated poly(vinyl acetate) macroinitiator", Eur. Polym. J., Vol. 45, pp. 985-995, 2009.
- [39]. Bottcher H., Hallensleben M.L., Nu S., Wurm H., Bauer J., and Behrens P., "Organic/inorganic hybrids by living/controlled ATRP grafting from layered silicates", J. Mater. Chem., Vol. 12, pp. 1351-1354, 2002.
- [40]. Samakande A., Sanderson R., and Hartmann P., "Emulsion polymerization by RAFT mediated miniemulsion polymerization", J. Polym. Sci. Part A: Polym. Chem., Vol. 46, pp. 7114-7126, 2008.
- [41]. Min K., Gao H., and Matyjaszewski K., "Development of an ab initio emulsion atom transfer radical polymerization: from microemulsion to emulsion", J. Am. Chem. Soc., Vol. 128, pp. 10521-10526, 2006.
- [42]. Eslami H., and Zhu Sh., "Emulsion atom transfer radical polymerization of 2-ethylhexyl methacrylate", Polymer, Vol. 46, pp. 5484-5493, 2005.
- [43]. Simms R.W., & Cunningham M.F., "Reverse atom transfer radical polymerization of butyl methacrylate in a miniemulsion stabilized with a cationic surfactant", J. Polym. Sci. Part A: Polym. Chem., Vol. 44, pp. 1628-1634, 2006.
- [44]. Li M., and Matyjaszewski K., "Reverse atom transfer radical polymerization in miniemulsion", Macromolecules, Vol. 36, pp. 6028-6035, 2003.
- [45]. Matyjaszewski K., Qiu J., Tsarevsky N., and Charleux B., "Atom transfer radical polymerization of n-Butyl Methacrylate in an aqueous dispersed system: A miniemulsion approach", J. Polym. Sci. Part A: Polym. Chem., Vol. 38, pp. 4724-4734, 2000.
- [46]. Kia Zh., Hongwen Zh., Hongtu L., and Jiangyuan W., "Reverse atom transfer radical polymerization of styrene in emulsion initiated by AIBN or V50", Chinese science bulletin, Vol. 50(14), pp. 1445-1448, 2005.